

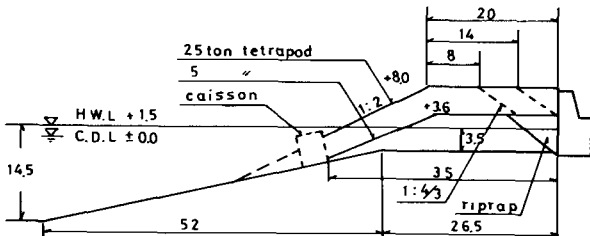
海岸構造に於けるテトラポッドの消波特性に関する模型実験

岩手大学工学部 正員 塚 光樹

1. はじめに テトラポッドなど異形ブロックの消波特性に関して多くの理論的実験的研究及び現地観測が行なわれてゐり、大方の性質は明らかになつてしまつてゐる。しかしある特定の海岸に消波工を計画する際、地形特性、波浪特性など特殊な要素が含まれ、既存のデータでは不十分な場合がある。芦野港北防波堤付近は陸地と島及び暗礁にはさまれたいわゆる狭窄部であり相当大きな波浪が襲撃する。またかく防波堤より沖合約100mにあつてケーランが激浪のために冲合約35mにまで転動しているが、このケーランを消波工の根固めとして利用する場合ケーランが消波工の効果にどの様な影響を与えるか明らかでない。こうにケーランを利用すると消波工の冲刷量が大きくなつてしまつて、天端幅を増やすには防波堤に向って増加させることになる。一般的には消波工天端幅の増加に伴い消波効果も増大するが、上述の場合には異常に効果を示すものと考えられる。この様に波浪特性、ケーランの存在、消波工天端幅など特殊な場合でのテトラポッド消波特性に関する模型実験を行つた。

2 実験条件及び実験方法

防波堤設計資料等に基づき1.で述べた狭窄地形であることを考慮して設計波浪を周期10秒、波高6.8m、海面C.D.L.+1.50mとする。海底地形は深水圏により石園の如く設定し、消波工は下段の5°テトラポッド(倒立)及び捨石と上段の25°テトラポッド(倒立)、空隙率50%、天端高C.D.L.+8.0mとした。ケーランの影響と調べるためにケーランのある場合(case A)とない場合(case B)について実験を行つた。天端幅は下段の5°テトラポッド及び捨石は常時設置し上段の25°テトラポッドの幅を0m, 8m(3個並び), 14m(5個), 20m(7個)の4種とした。こうに波高、堤体天端高の影響を見るために表-1の如く変化させて各々の組合せについて波压、越波量を測定した。



ケーラン	有	無		
消波工天端幅	0	8	14	20
波高	5.8	6.8	7.3	
防波堤天端高	4.5	5.5	6.5	7.5

表 1

模型縮尺は長さを1/25としフルートの相似律に従つた。実験は長さ26mのフラップ型造波水路で行つた。海底地形は木板を用いて設置し、テトラポッドは1/25モデルの比重調整されたものを使用した。波高は抵抗線式波高計、波压は其和電業社製 PG-500GD、越波量は集水マスに受けメスシリンドーによつて計測した。

3. 実験結果 3-1 波压 1) case A 消波工を設置した場合の波压分布は消波工の天端幅(以下幅B)に係りなく波压作用部分の上端から静水面附近まで直線的に増加しそれより以降は等分布である。波压分布より波压合計Pを求めたのが図1-3である。図中白印がcase Aで消波工を設置することにより大幅に波压が減少していく。しかしH=5.8, 6.8mではB=8m, H=7.3mではB=14mよりこうに幅Bを増加させても消波効果は増大していない。これは一般的な幅の増加による効果は碎波点と堤体から遠ざけようには碎波してから堤体に達するまでの間に多くのブロックを通過することによって生じているものに対し、本実験では消波工の冲刷量が固定されているため碎波点は常に一定しており波が通過する消波工の幅のみが消波効果の増大に寄与することになる。しかしながらこれによる効果はあまり期待できないものと思われる。碎波とその後の水塊の飛散状況を観察するとH=5.8, 6.8mでは水塊は碎波後消

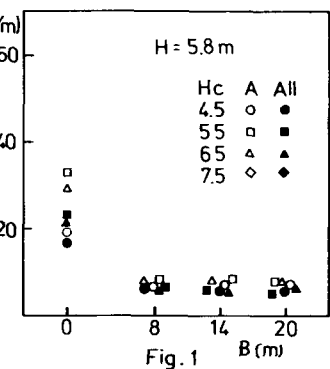


Fig. 1

消波工天端上を越えるが 8° 以内で再び消波工内に侵入してあり、 $H=7.3^{\circ}$ では同様に飛散範囲は $8^{\circ} \sim 14^{\circ}$ 以内である。このことは碎波点が固定されていいる場合、幅Bは碎波後の飛散範囲程度あれば十分であることを示している。

2) case AII 水圧分布は case A とほぼ同様な形であった。水圧合力 P は図 1~3 の黒印で示してある。幅 B については同様の結果であるが、 $H=7.3^{\circ}$ では case A で $B=14^{\circ}$ であつたのに (t/m) 対し、ケーランがなければ $B=8^{\circ}$ で十分であることがわかる。

3-2 越波量 堤体天端高が低い程、また波高が大きい程越波量は多いことは明らかであるから、 $H=7.3^{\circ}, H_c=4.5^{\circ}$ の場合についてのみ相対越波量の形で表へて示してある。一般に消波限界は 5×10^{-3} とされているが、いづれの場合もこの値以下であり、越波に対しては十分な効果であった。

3-3 ケーランの影響 図 1~3 の中で case A と case AII を比較すると若干ではあるが常に AII の方が小さな値であり、その傾向は波高が大きい程顕著である。また表 2 の相対越波量に於けるケーランのない場合のみ方が少なくていい。このことはケーランの存在が消波効果を妨げていることを示している。碎波状況を比較すると case AII ではのり面上で碎波するのに対し、case A ではケーラン上で堤体からのモリ流れと入射波が重なりかなり大きな波高になり一部が碎波しながらのり面に達し碎波する。これに永井等の碎波領域による消波特性の変化に対応するものであり、本来のり面碎波するはずが、ケーランによってのり先碎波に変えられ、大きな波压、越波量が生じていいものと考えられる。

3-4 設計波压との比較 漁港構造物標準設計法(1976年改訂版)によれば消波工が設置された場合の波压強度は $P = \frac{1}{2}(\alpha(1 + \cos \beta)) \cdot H$ で、静水面より $1.0H$ の高さまで作用するとされていて。ここで β は入射角度、 $\alpha = 1.03$ 、 H は堤体設置位置での進行波としての波高である。実験値と上式による値を比較すると実験値が極めて小さい。これは工式が広井式と比較して消波工の効果をあまり大きなものとしていなかっためであると思われる。ブロック堤などの効果を示す量として波高伝達率があるが、消波工の場合は背後に堤体があるため進行波としての伝達波は存在しない。しかし仮想の伝達波を考え、その波高 H_f と波压の関係は上式によるものとすれば、波压の実測値を用いて H_f と H の比、仮想波高伝達率 K_f が推定され、消波工の効果を示す指標とすることができる。図 4 によれば K_f は各波高でほぼ一定の値となり、つまり、波高が大きい程 K_f も大きい。このことは仮想波高伝達率は消波工特性の他に波浪特性によるもの異なることを示している。(図中累積は $B=0$)

4.まとめ 1) 消波工天端幅は碎波後の水塊の飛散範囲程度あれば十分で、それ以上増加させても消波効果の増大は期待できない。2) ケーランの存在は消波効果を妨げる結果になる。3) 仮想波高伝達率は入射波特性により異なる。4) 相対越波量は消波工を設置した全ての場合で消波限界以下であった。最後に現地資料等に關し岩手県庁の酒井高橋伊織小林今野澤里諸氏、実験に際し当時岩手大学学生佐藤千葉兩君の協力を得たことを記し、ここに深く感謝の意を表します。

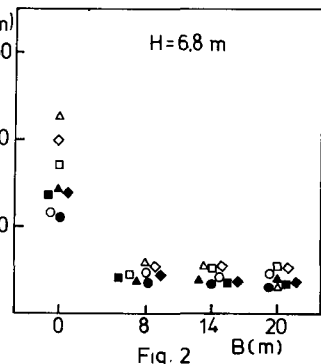


Fig. 2

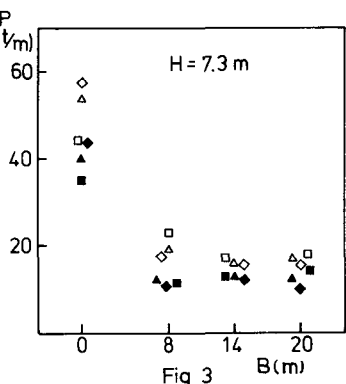


Fig. 3

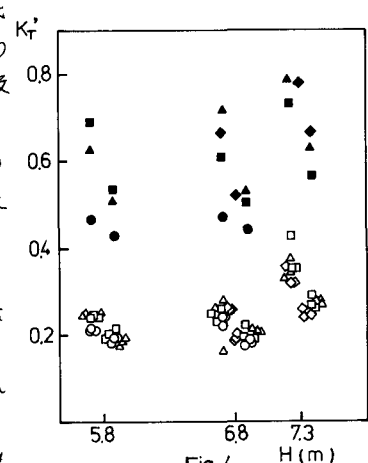


Fig. 4

	$B=8$	$B=14$	$B=20$
case A	7.5×10^{-3}	7.9×10^{-3}	2.0×10^{-3}
case AII	2.4×10^{-4}	1.5×10^{-4}	4.8×10^{-4}

表 2